

VERSUCH NUMMER

TITEL

Nico Schaffrath
nico.schaffrath@tu-dortmund.de

Mira Arndt
mira.arndt@tu-dortmund.de

Durchführung: DATUM

Abgabe: DATUM

TU Dortmund – Fakultät Physik

Inhaltsverzeichnis

1 Ziel	3
2 Theorie	3
3 Durchführung	3
3.1 Vermessung von Spulen/Magnetfeld von Spulen	3
3.2 Vermessung von Helmholtzspulen/Magnetfeld eines Spulenpaares	3
3.3 Hysteresekurve	4
4 Auswertung	4
5 Diskussion	7
Literatur	7

1 Ziel

Soll ich in der Durchführung die Werte für die Stromstärke und falls vorhanden auch für die Spannung angeben? Ich brauche die Bilder für die Durchführung.

Bei dem vorliegenden Versuch sollen die Magnetfelder unterschiedlicher Spulen, beziehungsweise Spulenpaare, vermessen werden. Außerdem soll die Hysteresekurve eines ferromagnetischen Materials, welches sich in einer Ringspule befindet, aufgezeichnet und untersucht werden.

2 Theorie

[1]

3 Durchführung

3.1 Vermessung von Spulen/Magnetfeld von Spulen

Zuerst sollen die magnetischen Flussdichten von zwei Spulen - einer kurzen mit einer Länge $l = 5.5 \text{ cm}$ und $n = 100$ Windungen, sowie einer langen Spule mit einer Länge $l = 15.8 \text{ cm}$ und $n = 300$ Windungen - gemessen werden. Dies soll mithilfe einer (longitudinalen) Hall-Sonde verwirklicht werden, die entlang der Spulenmitte sowohl außerhalb, als auch innerhalb bei konstanter Spannung U und konstantem Strom I , die magnetische Flussdichte misst. Die dabei erhaltenen Ergebnisse sollen graphisch aufgetragen und mit dem Theoriewert des magnetischen Flusses innerhalb der Spulen verglichen werden.

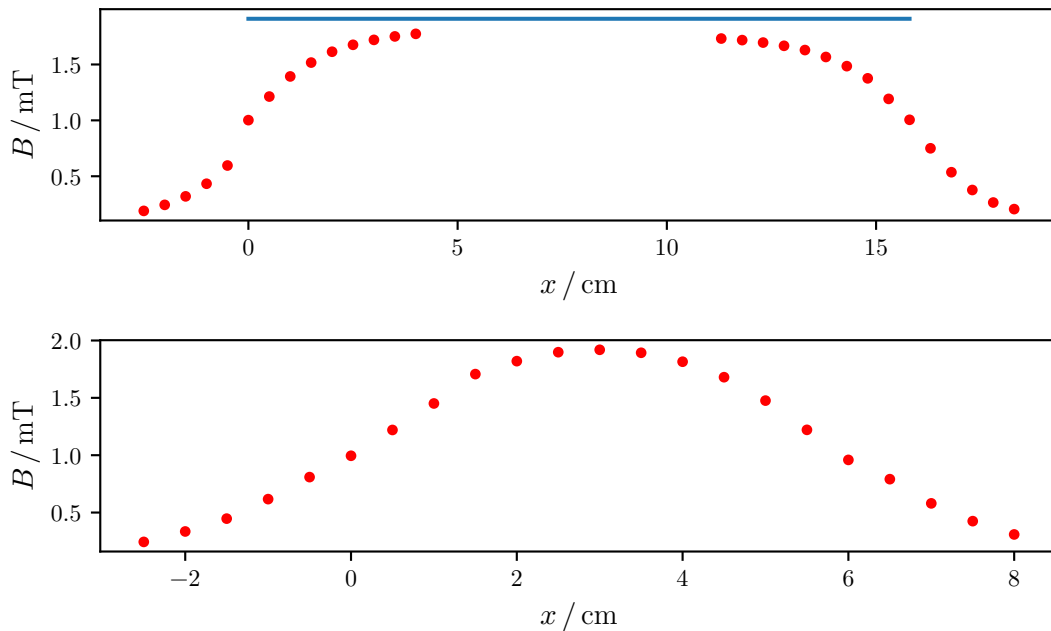
3.2 Vermessung von Helmholtzspulen/Magnetfeld eines Spulenpaares

In diesem Teil soll die magnetische Flussdichte B von einem Helmholtzspulenpaar untersucht werden. Dazu werden zwei identische Spulen, mit Radius $r = 12.5 \text{ cm}$, Breite $b = 3.3 \text{ cm}$, die jeweils $n = 100$ Windungen besitzen, in drei unterschiedlichen Abständen voneinander platziert. Dabei ist zu beachten, dass die Spulen ohne einen seitlichen Versatz und ohne Drehwinkel zueinander angeordnet sein müssen. Die notierten Werte geben den Abstand von dem Mittelpunkt der einen Spule zum Mittelpunkt der anderen Spule an. Auch hier gilt es das magnetische Feld auf einer Achse, die durch die Spulenmitten verläuft, bei konstanter Stromstärke I , sowie konstanter Spannung U zu messen. Es sollen sowohl Messwerte zwischen den Spulen, als auch außerhalb der Spulen, mithilfe einer (transversalen) Hallsonde aufgenommen werden. Die aufgeschriebenen Werte beziehen sich auf den Abstand von dem nach innen gerichteten Rand einer Spule zur Hallsonde. Die so ermittelten Werte sollen graphisch dargestellt und mit den Theoriewerten verglichen werden.

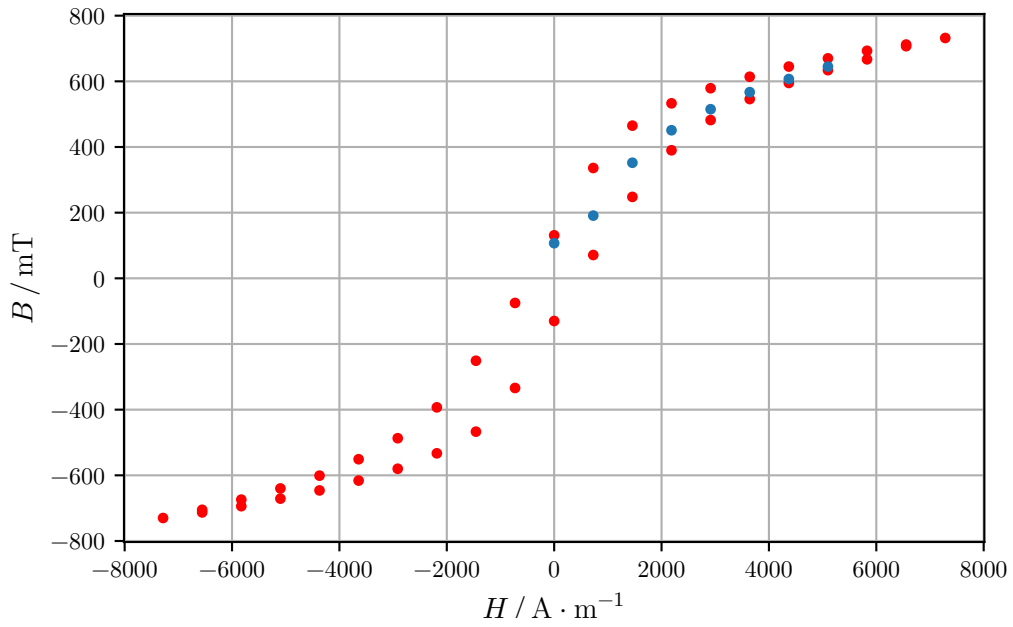
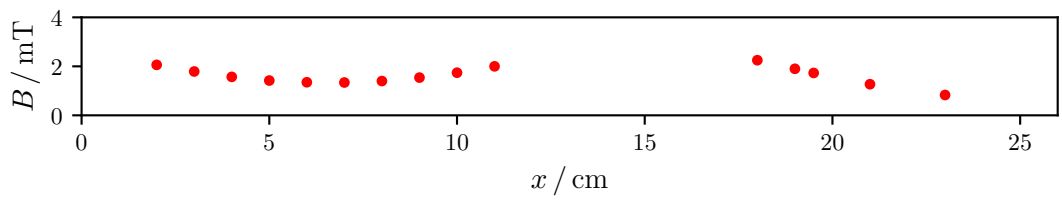
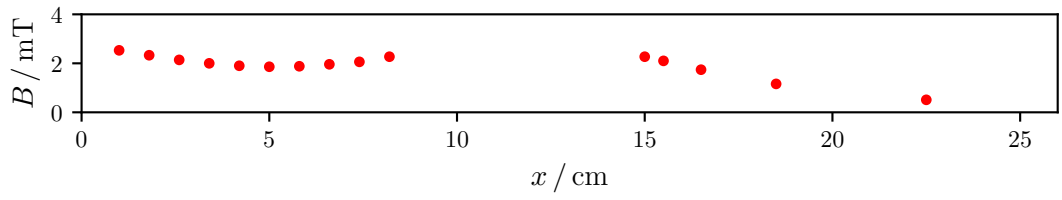
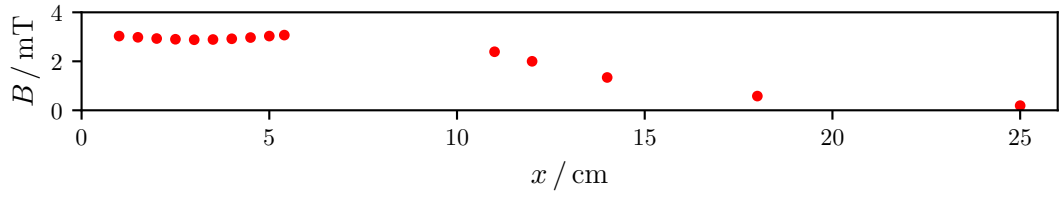
3.3 Hysteresekurve

Zuletzt soll die Hysteresekurve einer Ringspule mit $n = 595$ Windungen, einem Luftspalt der Breite $b = 3\text{ mm}$ und einem Durchmesser von $d = 26\text{ cm}$ aufgezeichnet werden. Dazu soll der Spulenstrom zunächst von $I = 0\text{ A}$ in zehn Schritten auf $I = 10\text{ A}$ hochgestellt werden und anschließend ebenfalls in zehn Schritten wiederum auf $I = 0\text{ A}$ herabgesetzt werden. Nach einer Umpolung wird der eben beschriebene Vorgang wiederholt. Wenn dies abgeschlossen ist, soll nach einer weiteren Umpolung die Stromstärke ein letztes Mal von $I = 0\text{ A}$ in zehn Schritten auf $I = 10\text{ A}$ hochgeregelt werden. Die Messwerte für die magnetische Flussdichte werden mit einer transversalen Hallsonde aufgenommen. Die Ergebnisse sollen graphisch dargestellt werden und zusätzlich sollen Sättigungsmagnetisierung U_S , Remanenz U_r und Koerzitivkraft H_c ermittelt werden.

4 Auswertung



I / A	B / mT	H / A
0	107	0
1	191	728
2	352	1457
3	451	2185
4	515	2914
5	567	3642
6	607	4371
7	645	5099
8	677	5828
9	707	6556
10	732	7284
9	712	6556
8	693	5828
7	670	5099
6	645	4371
5	614	3642
4	579	2914
3	533	2185
2	465	1457
1	336	728
0	131	0
-1	-75	-728
-2	-251	-1457
-3	-393	-2185
-4	-487	-2914
-5	-551	-3642
-6	-601	-4371
-7	-640	-5099
-8	-674	-5828
-9	-705	-6556
-10	-730	-7284
-9	-713	-6556
-8	-694	-5828
-7	-671	-5099
-6	-646	-4371
-5	-616	-3642
-4	-580	-2914
-3	-533	-2185
-2	-467	-1457
-1	-334	-728
0	-130	0
1	71	728
2	248	1457
3	390	2185
4	482	2914
5	546	3642
6	595	4371
7	634	5099
8	667	5828
9	696	6556
10	722	7284



5 Diskussion

Literatur

- [1] TU Dortmund. *Versuch zum Literaturverzeichnis*. 2014.
- [2] John D. Hunter. „Matplotlib: A 2D Graphics Environment“. Version 1.4.3. In: *Computing in Science & Engineering* 9.3 (2007), S. 90–95. URL: <http://matplotlib.org/>.
- [3] Eric Jones, Travis E. Oliphant, Pearu Peterson u. a. *SciPy: Open source scientific tools for Python*. Version 0.16.0. URL: <http://www.scipy.org/>.
- [4] Eric O. Lebigot. *Uncertainties: a Python package for calculations with uncertainties*. Version 2.4.6.1. URL: <http://pythonhosted.org/uncertainties/>.
- [5] Travis E. Oliphant. „NumPy: Python for Scientific Computing“. Version 1.9.2. In: *Computing in Science & Engineering* 9.3 (2007), S. 10–20. URL: <http://www.numpy.org/>.